



Analyse en discret du problème bas Mach avec porosité : les cas cartésien et triangulaire

Jonathan Jung (LRC-Manon, Paris 6)

Collaborateurs :

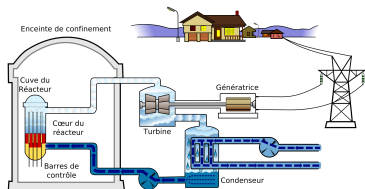
Stéphane Dellacherie (CEA, Saclay & LRC-Manon)

Pascal Omnes (CEA, Saclay & Université Paris 13)

LRC Manon, 7 octobre 2014

Cas d'étude :

- Cœur de réacteur nucléaire.



Propriétés de l'écoulement :

- Écoulement en section variable.
- Écoulement compressible.
- Bas nombre de Mach

$$|u| \ll c$$
$$\Leftrightarrow M := \frac{|u|}{c} \ll 1.$$

Objectif :

- Développer un schéma numérique "compressible" se comportant bien à bas nombre de Mach.

Équation d'Euler barotrope

- Équations d'Euler barotrope avec porosité

$$\begin{cases} \partial_t(\alpha\rho) + \nabla \cdot (\alpha\rho\mathbf{u}) = 0, \\ \partial_t(\alpha\rho\mathbf{u}) + \nabla \cdot (\alpha\rho\mathbf{u} \otimes \mathbf{u}) + \alpha\nabla p = 0, \end{cases}$$

où $\alpha \in [\alpha_{\min}, 1]$ est la porosité, où $\alpha_{\min} > 0$.

- Adimensionnement : on introduit $\tilde{x} = \frac{x}{L}$, $\tilde{y} = \frac{y}{L}$, $\tilde{t} = \frac{t}{T}$, $\tilde{\alpha} = \frac{\alpha}{\alpha_0}$, $\tilde{\rho} = \frac{\rho}{\rho_0}$, $\tilde{u}_x = \frac{u_x}{u_0}$, $\tilde{u}_y = \frac{u_y}{u_0}$, $\tilde{p} = \frac{p}{p_0}$ avec $u_0 = \frac{L}{T}$, on obtient

$$\begin{cases} \partial_{\tilde{t}}(\tilde{\alpha}\tilde{\rho}) + \tilde{\nabla} \cdot (\tilde{\alpha}\tilde{\rho}\tilde{\mathbf{u}}) = 0, \\ \partial_{\tilde{t}}(\tilde{\alpha}\tilde{\rho}\tilde{\mathbf{u}}) + \tilde{\nabla} \cdot (\tilde{\alpha}\tilde{\rho}\tilde{\mathbf{u}} \otimes \tilde{\mathbf{u}}) + \frac{\tilde{\alpha}}{M^2}\nabla\tilde{p} = 0, \end{cases} \quad \text{avec } M = \frac{u_0}{c_0}.$$

- Changement de variables $\tilde{\rho} := \tilde{\rho}_* \left(1 + \frac{M}{a_*}\tilde{r}\right)$, avec $\begin{cases} a_*^2 = \tilde{p}'(\tilde{\rho}_*) \\ \frac{M}{a_*}\tilde{r} \ll 1. \end{cases}$

$$\begin{cases} \partial_{\tilde{t}}(\tilde{\alpha}\tilde{r}) + \tilde{\nabla} \cdot (\tilde{\alpha}\tilde{r}\tilde{\mathbf{u}}) + \frac{a_*}{M}\tilde{\nabla} \cdot (\tilde{\alpha}\tilde{\mathbf{u}}) = 0, \\ \partial_{\tilde{t}}(\tilde{\alpha}\tilde{\mathbf{u}}) + (\tilde{\mathbf{u}} \cdot \tilde{\nabla})(\tilde{\alpha}\tilde{\mathbf{u}}) + \frac{\tilde{\alpha}}{M} \frac{\tilde{p}'(\tilde{\rho}_*(1 + \frac{M}{a_*}\tilde{r}))}{a_*(1 + \frac{M}{a_*}\tilde{r})} \nabla\tilde{r} = 0. \end{cases}$$

Équation des ondes avec porosité

- Linéarisation autour de $(\tilde{r} = 0, \tilde{\mathbf{u}} = 0)$: **équation des ondes avec porosité**

$$\begin{cases} \partial_t(\alpha r) + \frac{a_*}{M} \nabla \cdot (\alpha \mathbf{u}) = 0, \\ \partial_t(\alpha \mathbf{u}) + \frac{a_*}{M} \alpha \nabla r = 0. \end{cases}$$

- Noyau de l'opérateur spatial : **espace incompressible**

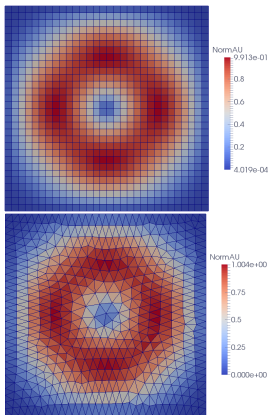
$$\mathcal{E}_\alpha := \left\{ q = (r, \mathbf{u})^T \in L_\alpha^2(\mathbb{T})^3 \mid \nabla r = 0 \text{ et } \nabla \cdot (\alpha \mathbf{u}) = 0 \right\}.$$

But :

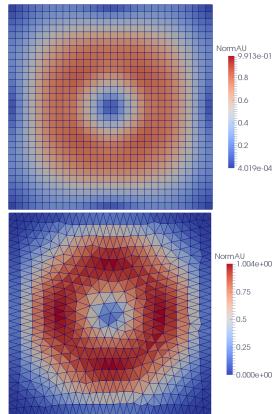
- Étudier le comportement du schéma numérique vis-à-vis des éléments incompressibles $q \in \mathcal{E}_\alpha$.

Problème numérique : condition initiale incompressible $q_0 \in \mathcal{E}_\alpha$

• Condition initiale :



• À $t = 0.01 (= M)$:



Objectifs :

- Cerner l'origine du problème sur maillage cartésien.
- Comprendre le cas triangulaire.

Schéma numérique

Schéma de Godunov sur maillage triangulaire ou cartésien $(\Omega_i)_{1 \leq i \leq N}$

$$\begin{cases} \frac{d}{dt}(\alpha r)_i + \frac{a_*}{2M} \frac{1}{|\Omega_i|} \sum_{\Gamma_{ij} \subset \partial\Omega_i} |\Gamma_{ij}| (\alpha \mathbf{u} \cdot \mathbf{n})_{ij} = 0, \\ \frac{d}{dt}(\alpha \mathbf{u})_i + \frac{a_*}{2M} \frac{\alpha_i}{|\Omega_i|} \sum_{\Gamma_{ij} \subset \partial\Omega_i} |\Gamma_{ij}| r_{ij} \mathbf{n}_{ij} = 0, \end{cases}$$

où $(r_{ij}, (\alpha \mathbf{u} \cdot \mathbf{n})_{ij})$ est solution d'un problème du Riemann¹ 1D dans la direction \mathbf{n}_{ij} en $\xi = 0$

$$\begin{cases} \alpha_{ij} \partial_t r_\xi + \frac{a_*}{M} \partial_\xi ((\alpha u)_\xi) = 0, \\ \partial_t ((\alpha u)_\xi) + \frac{a_*}{M} \alpha_{ij} \partial_\xi r_\xi = 0, \\ (r_\xi, (\alpha u)_\xi) (t = 0, \xi) = \begin{cases} (r_i, (\alpha \mathbf{u})_i \cdot \mathbf{n}_{ij}) & \text{si } \xi < 0, \\ (r_j, (\alpha \mathbf{u})_j \cdot \mathbf{n}_{ij}) & \text{sinon.} \end{cases} \end{cases}$$

1. S. Dellacherie, P. Omnes, On the Godunov scheme applied to the variable cross-section linear equation. FVCA6, (4) :313–321, 2011.

Schéma numérique

- La solution du problème de Riemann en $\xi = 0$ est donnée par

$$\begin{cases} r_{ij} = \frac{r_i + r_j}{2} + \frac{1}{2\alpha_{ij}} ((\alpha \mathbf{u})_i - (\alpha \mathbf{u})_j) \cdot \mathbf{n}_{ij}, \\ ((\alpha \mathbf{u}) \cdot \mathbf{n})_{ij} = \frac{((\alpha \mathbf{u})_i + (\alpha \mathbf{u})_j) \cdot \mathbf{n}_{ij}}{2} + \frac{\alpha_{ij}}{2} (r_i - r_j). \end{cases}$$

- Schéma de Godunov sur maillage triangulaire ou cartésien
(Ω_i) $_{1 \leq i \leq N}$ [DO11]

$$\begin{cases} \frac{d}{dt} (\alpha r)_i + \frac{a_\star}{2M} \frac{1}{|\Omega_i|} \sum_{\Gamma_{ij} \subset \partial \Omega_i} |\Gamma_{ij}| \left[((\alpha \mathbf{u})_i + (\alpha \mathbf{u})_j) \cdot \mathbf{n}_{ij} + \alpha_{ij} (r_i - r_j) \right] = 0, \\ \frac{d}{dt} (\alpha \mathbf{u})_i + \frac{a_\star}{2M} \frac{\alpha_i}{|\Omega_i|} \sum_{\Gamma_{ij} \subset \partial \Omega_i} |\Gamma_{ij}| \left[r_i + r_j + \frac{\kappa}{\alpha_{ij}} ((\alpha \mathbf{u})_i - (\alpha \mathbf{u})_j) \cdot \mathbf{n}_{ij} \right] \mathbf{n}_{ij} = 0 \end{cases}$$

avec $\kappa = 1$.

Cerner l'origine du problème en cartésien

Équation équivalente en cartésien :

- Le schéma de Godunov sur maillage cartésien $\Omega_{i,j}$ pour αr nous fournit

$$\begin{aligned}\partial_t(\alpha r)_{i,j} &+ \frac{a_\star}{M} \frac{(\alpha u_x)_{i+1,j} - (\alpha u_x)_{i-1,j}}{2\Delta x} + \frac{a_\star}{M} \frac{(\alpha u_y)_{i,j+1} - (\alpha u_y)_{i,j-1}}{2\Delta y} \\ &= \frac{a_\star}{2M\Delta x} \left(\alpha_{i+\frac{1}{2},j} (r_{i+1,j} - r_{i,j}) - \alpha_{i-\frac{1}{2},j} (r_{i,j} - r_{i-1,j}) \right) \\ &\quad + \frac{a_\star}{2M\Delta y} \left(\alpha_{i,j+\frac{1}{2}} (r_{i,j+1} - r_{i,j}) - \alpha_{i,j-\frac{1}{2}} (r_{i,j} - r_{i,j-1}) \right).\end{aligned}$$

- L'équation équivalente à l'ordre un pour αr est donc

$$\partial_t(\alpha r) + \frac{a_\star}{M} \nabla \cdot (\alpha \mathbf{u}) = \frac{a_\star \Delta x}{2M} \partial_x (\alpha \partial_x r) + \frac{a_\star \Delta y}{2M} \partial_y (\alpha \partial_y r).$$

Équation équivalente en cartésien

- Nous faisons de même pour l'équation sur $\alpha \mathbf{u}$ et nous obtenons le système équivalent

$$\partial_t(\alpha r) + \frac{a_\star}{M} \nabla \cdot (\alpha \mathbf{u}) - \frac{a_\star \Delta x}{2M} \partial_x(\alpha \partial_x r) - \frac{a_\star \Delta y}{2M} \partial_y(\alpha \partial_y r) = 0$$

$$\partial_t(\alpha \mathbf{u}) + \frac{a_\star}{M} \alpha \nabla r - \left(\begin{array}{c} \kappa \alpha \frac{a_\star \Delta x}{2M} \partial_x \left(\frac{1}{\alpha} \partial_x(\alpha u_x) \right) \\ \kappa \alpha \frac{a_\star \Delta y}{2M} \partial_y \left(\frac{1}{\alpha} \partial_y(\alpha u_y) \right) \end{array} \right) = 0$$

avec $\kappa = 1$. Nous l'écrivons sous la forme

$$\partial_t(\alpha q) + \frac{\mathcal{L}_{\kappa, \alpha}}{M}(q) = 0 \quad \text{avec} \quad \mathcal{L}_{\kappa, \alpha} = L_\alpha - MB_{\kappa, \alpha}.$$

- Quelle est la relation entre $\text{Ker } \mathcal{L}_{\kappa, \alpha}$ et \mathcal{E}_α ?

Noyau de l'équation équivalente

Proposition

- ① Si $\kappa > 0$, nous avons

$$\begin{aligned} \text{Ker } \mathcal{L}_{\kappa>0,\alpha} &= \{q := (r, \mathbf{u})^T \mid \nabla r = 0 \text{ et } \partial_x(\alpha u_x) = \partial_y(\alpha u_y) = 0\} \\ &\subsetneq \mathcal{E}_\alpha. \end{aligned}$$

- ② Si $\kappa = 0$, nous avons $\text{Ker } \mathcal{L}_{\kappa=0,\alpha} = \mathcal{E}_\alpha$.

Bilan de l'étude en continue :

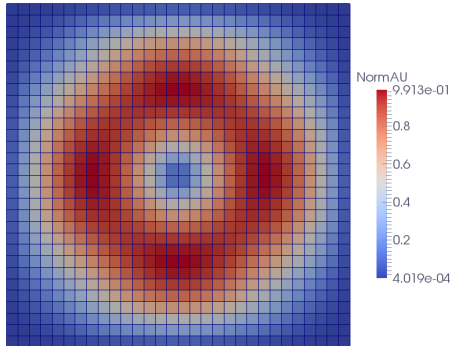
- Remplacer $\kappa = 1$ par $\kappa = 0$ semble permettre au schéma de Godunov de préserver les états incompressibles $q^0 \in \mathcal{E}_\alpha$ sur maillages cartésiens.

À faire :

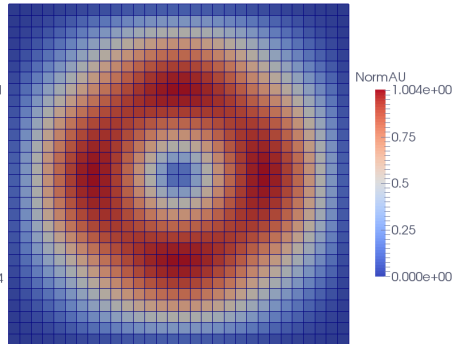
- Tester numériquement la correction ($\kappa = 0$).

Test de la correction bas Mach $\kappa = 0$

- Condition initiale $q^0 \in \mathcal{E}_\alpha$:



- À $t = 0.01 (= M)$:



Objectifs :

- Étudier le problème au niveau discret.
- Étudier le cas d'un maillage triangulaire.

Étude discrète

- Nous définissons les espaces $\mathcal{E}_\alpha^\Delta$ et $\mathcal{E}_\alpha^\square$ correspondant à l'espace incompressible \mathcal{E}_α sur maillages triangulaires et cartésiens.
- Rappelons le schéma de Godunov sur maillage triangulaire ou cartésien $(\Omega_i)_{1 \leq i \leq N}$ [DO11]

$$\begin{cases} \frac{d}{dt}(\alpha r)_i + \frac{a_\star}{2M} \frac{1}{|\Omega_i|} \sum_{\Gamma_{ij} \subset \partial\Omega_i} |\Gamma_{ij}| \left[((\alpha \mathbf{u})_i + (\alpha \mathbf{u})_j) \cdot \mathbf{n}_{ij} + \alpha_{ij}(r_i - r_j) \right] = 0, \\ \frac{d}{dt}(\alpha \mathbf{u})_i + \frac{a_\star}{2M} \frac{\alpha_i}{|\Omega_i|} \sum_{\Gamma_{ij} \subset \partial\Omega_i} |\Gamma_{ij}| \left[r_i + r_j + \frac{\kappa}{\alpha_{ij}} ((\alpha \mathbf{u})_i - (\alpha \mathbf{u})_j) \cdot \mathbf{n}_{ij} \right] \mathbf{n}_{ij} = 0 \end{cases}$$

avec $\kappa = 1$.

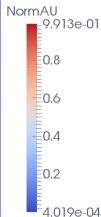
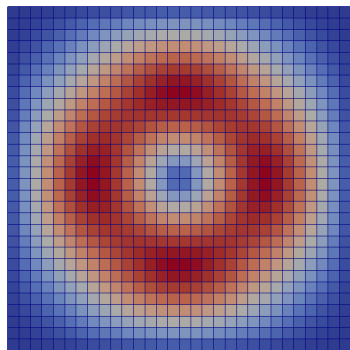
- Nous l'écrivons sous la forme

$$\frac{d}{dt}(\alpha q_h) + \frac{\mathbb{L}_{\kappa, \alpha}^h}{M}(q_h) = 0,$$

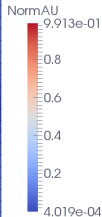
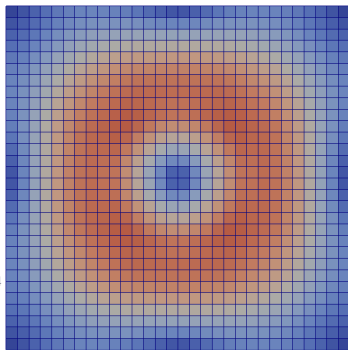
où $q_h = (r_i, \mathbf{u}_i)^T$.

Maillage cartésien et schéma de Godunov ($\kappa = 1$) :

• Condition initiale $q^0 \in \mathcal{E}_\alpha^\square$:



• À $t = 0.01 (= M)$:

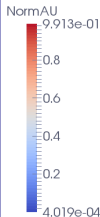
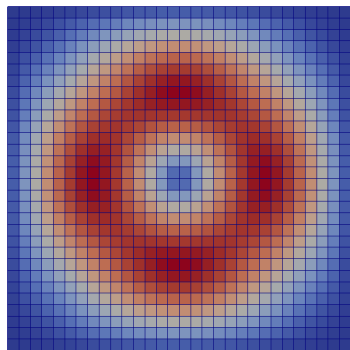


Proposition ($\kappa = 1$ sur \square)

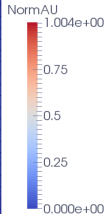
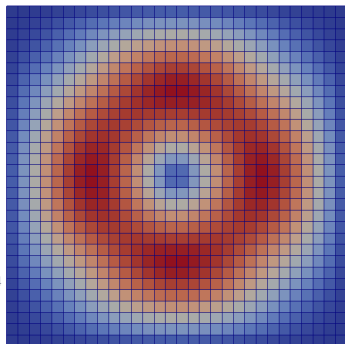
$$\text{Ker } \mathbb{L}_{\kappa=1,\alpha}^h \subsetneq \mathcal{E}_\alpha^\square.$$

Maillage cartésien et schéma bas Mach ($\kappa = 0$) :

• Condition initiale $q^0 \in \mathcal{E}_\alpha^\square$:



• À $t = 0.01 (= M)$:



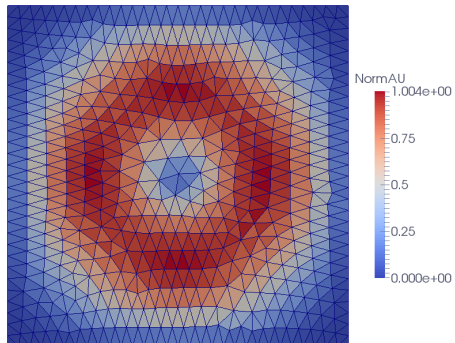
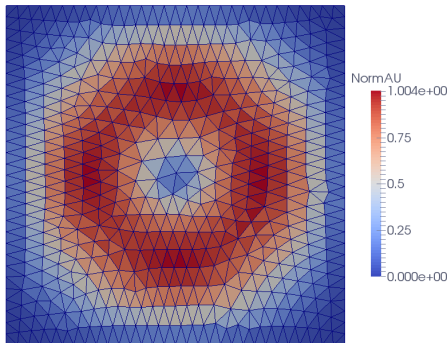
Proposition ($\kappa = 0$ sur \square)

$$\text{Ker } \mathbb{L}_{\kappa=0, \alpha}^h = \mathcal{E}_\alpha^\square.$$

Maillage triangulaire et schéma de Godunov ($\kappa = 1$) :

• Condition initiale $q^0 \in \mathcal{E}_\alpha^\Delta$:

• À $t = 0.01 (= M)$:



Proposition ($\kappa = 1$ sur Δ)

$$\text{Ker } \mathbb{L}_{\kappa=1,\alpha}^h = \mathcal{E}_\alpha^\Delta.$$

Conclusion sur l'étude discrète du noyau associé au schéma de Godunov

Conclusion :

- Le schéma de Godunov ($\kappa = 1$) ne préserve pas certains états de l'espace incompressible $\mathcal{E}_\alpha^\square$ sur maillage cartésien.
- Le schéma bas Mach ($\kappa = 0$) préserve les éléments de l'espace incompressible $\mathcal{E}_\alpha^\square$ sur maillage cartésien.
- Le schéma de Godunov ($\kappa = 1$) préserve les états de l'espace incompressible $\mathcal{E}_\alpha^\triangle$ sur maillage triangulaire.

MAIS :

- On souhaite une correction permettant d'obtenir le schéma de Godunov quand le nombre de Mach tend vers 1.
- Que se passe-t-il si la condition initiale $q^0 \notin \mathcal{E}_\alpha$?
- **L'étude du noyau \mathcal{E}_α ne suffit pas.**

Décomposition de Hodge et projection sur \mathcal{E}_α

Comment pouvons-nous décomposer un élément $q \notin \mathcal{E}_\alpha$?

Théorème

Supposons que $\alpha \in [\alpha_{\min}, \alpha_{\max}]$ avec $\alpha_{\min} > 0$. Il est possible de construire une décomposition de Hodge sur les espaces à poids

$$\mathcal{E}_\alpha \oplus \mathcal{E}_\alpha^\perp = L_\alpha^2(\mathbb{T})^3,$$

où l'espace acoustique \mathcal{E}_α^\perp est donné par

$$\mathcal{E}_\alpha^\perp = \left\{ q = (r, \mathbf{u})^T \in L_\alpha^2(\mathbb{T})^3 \mid \int_{\mathbb{T}} r \alpha dx = 0 \text{ et } \exists \phi \in H_\alpha^1(\mathbb{T}), \mathbf{u} = \nabla \phi \right\}$$

Définition

La décomposition de Hodge permet de définir une **projection orthogonale**

$$\begin{aligned} \mathbb{P}_\alpha : L_\alpha^2(\mathbb{T})^3 &\longrightarrow \mathcal{E}_\alpha \\ q &\longmapsto \mathbb{P}_\alpha q. \end{aligned}$$

Structure de la solution de l'équation des ondes

Équation des ondes avec porosité

$$\begin{cases} \partial_t(\alpha r) + \frac{a_*}{M} \nabla \cdot (\alpha \mathbf{u}) = 0, \\ \partial_t(\alpha \mathbf{u}) + \frac{a_*}{M} \alpha \nabla r = 0. \end{cases}$$

Proposition

Si q est solution de l'équation des ondes avec porosité et si q a pour condition initiale q^0 , nous avons

$$\forall q^0 \in \mathcal{E}_\alpha, \quad q(t \geq 0) = q^0 \in \mathcal{E}_\alpha \quad \text{et} \quad \forall q^0 \in \mathcal{E}_\alpha^\perp, \quad q(t \geq 0) \in \mathcal{E}_\alpha^\perp.$$

Corollaire

La solution q de l'équation des ondes avec porosité ayant pour condition initiale q^0 peut s'écrire sous la forme

$$q = \mathbb{P}_\alpha q^0 + (q - \mathbb{P}_\alpha q^0) \in \mathcal{E}_\alpha + \mathcal{E}_\alpha^\perp.$$

Structure de la solution de l'équation des ondes

Équation des ondes avec porosité

$$\begin{cases} \partial_t(\alpha r) + \frac{a_*}{M} \nabla \cdot (\alpha \mathbf{u}) = 0, \\ \partial_t(\alpha \mathbf{u}) + \frac{a_*}{M} \alpha \nabla r = 0. \end{cases}$$

Proposition

L'énergie de la solution q de l'équation des ondes avec porosité satisfait

$$\frac{d}{dt} \|q\|_{L_\alpha^2}^2 = 0.$$

Corollaire

La solution q de l'équation des ondes avec porosité ayant pour condition initiale q^0 satisfait

$$\forall C > 0, \|q^0 - \mathbb{P}_\alpha q^0\|_{L_\alpha^2} \leq CM \Rightarrow \forall t \geq 0, \|q - \mathbb{P}_\alpha q^0\|_{L_\alpha^2}(t) \leq CM.$$

Schéma numérique précis à bas nombre de Mach

- Nous transcrivons cette propriété au niveau discret en temps court.
- Nous construisons les décompositions de Hodge sur maillages triangulaires et cartésiens.
- Nous obtenons des projection orthogonales discrètes \mathbb{P}_α^h sur $\mathcal{E}_\alpha^\square$ et $\mathcal{E}_\alpha^\Delta$.

Définition

Un schéma est **précis à bas Mach** si la solution q_h donnée par le schéma satisfait

$$\forall C_1, C_2 > 0, \exists C_3(C_1, C_2) > 0, \|q_h^0 - \mathbb{P}_\alpha^h q_h^0\|_{l_\alpha^2} = C_1 M \\ \Rightarrow \forall t \in [0; C_2 M], \|q_h - \mathbb{P}_\alpha^h q_h^0\|_{l_\alpha^2}(t) \leq C_3 M,$$

où C_3 ne dépend pas de M .

Condition initiale :

- $a_\star = 1$.
- $M = 10^{-4}$.
- $q_h^0 = q_{h,1}^0 + \mathbf{M}q_{h,2}^0$ avec

$$\begin{cases} r_{h,1}^0(x, y) = 1, \\ (\alpha \mathbf{u}_1)_h^0 = \nabla_h \times \psi_h, \end{cases} \Rightarrow q_{h,1}^0 \in \mathcal{E}_\alpha^h$$

et

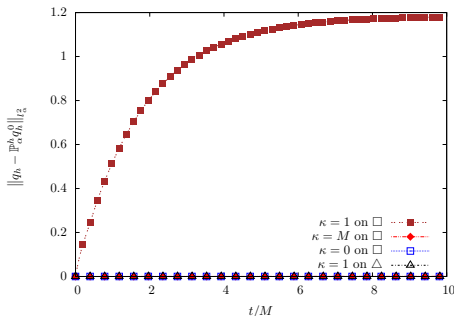
$$\begin{cases} r_{h,2}^0(x, y) = 0, \\ \mathbf{u}_{h,2}^0 = \nabla_h \phi_h, \\ \|q_{h,2}^0\|_{l_\alpha^2} = 1, \end{cases} \Rightarrow q_{h,2}^0 \in (\mathcal{E}_\alpha^h)^\perp$$

alors

$$\|q_h^0 - \mathbb{P}_\alpha q_h^0\|_{l_\alpha^2} = \|Mq_{h,2}^0\|_{l_\alpha^2} = M = O(M).$$

- Nous traçons $\|q_h - \mathbb{P}_\alpha q_h^0\|_{l_\alpha^2}(t)$ comme une fonction du temps.

Maillage cartésien avec $\Delta x = \Delta y = 0.02$ et $M = 0.0001 \ll \Delta x$:



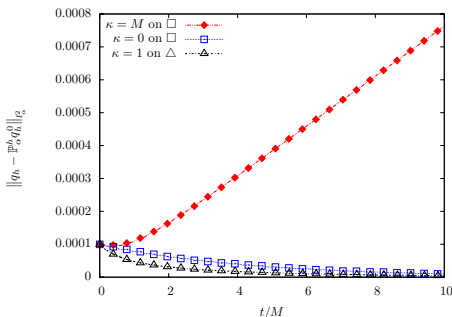
Théorème ($\kappa = 1$ sur \square)

$$\forall C_1 > 0, \exists C_2(C_1) > 0, \exists C_3(C_1) > 0, \|q_h^0 - \mathbb{P}_\alpha^{h,\square} q_h^0\|_{l_\alpha^2} = C_1 M$$

$$\Rightarrow \forall t \geq C_2 M, \|q_h - \mathbb{P}_\alpha^{h,\square} q_h^0\|_{l_\alpha^2}(t) \geq C_3 \min(\Delta x, \Delta y),$$

pour tout $M \leq \frac{C_3}{C_1} \min(\Delta x, \Delta y)$.

Maillage cartésien avec $\Delta x = \Delta y = 0.02$ et $M = 0.0001 \ll \Delta x$:



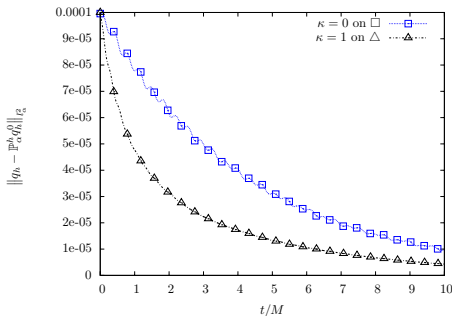
Théorème ($\kappa = M$ sur \square)

$$\forall C_1, C_2 > 0, \exists C_3(C_1, C_2) > 0, \|q_h^0 - \mathbb{P}_\alpha^{h, \square} q_h^0\|_{l_\alpha^2} = C_1 M$$

$$\Rightarrow \forall t \in [0; C_2 M], \|q_h - \mathbb{P}_\alpha^{h, \square} q_h^0\|_{l_\alpha^2}(t) \leq C_3 M,$$

où C_3 ne dépend pas de M .

Maillage cartésien avec $\Delta x = \Delta y = 0.02$ et $M = 0.0001 \ll \Delta x$:



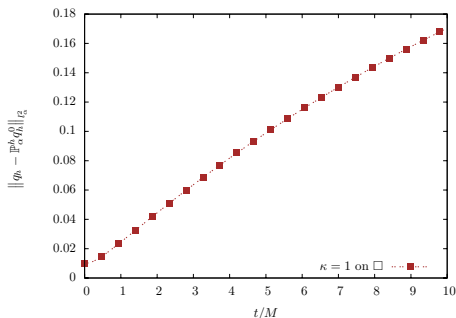
Théorème ($\kappa = 1$ sur \triangle et $\kappa = 0$ sur \square)

$$\forall C_1, C_2 > 0, \exists C_3(C_1, C_2) > 0, \|q_h^0 - \mathbb{P}_\alpha^h q_h^0\|_{l_\alpha^2} = C_1 M$$

$$\Rightarrow \forall t \geq 0, \|q_h - \mathbb{P}_\alpha^h q_h^0\|_{l_\alpha^2}(t) \leq C_3 M,$$

où C_3 ne dépend pas de M .

Maillage cartésien avec $\Delta x = \Delta y = 0.0033$ et $M = 0.01 \gg \Delta x$:



Théorème ($\kappa = 1$ sur \square)

$$\forall C_0, C_1, C_2 > 0, \exists C_3(C_0, C_1, C_2) > 0, \begin{cases} \Delta x \leq C_0 M, \text{ et } \Delta y \leq C_0 M, \\ \|q_h^0 - \mathbb{P}_\alpha^h q_h^0\|_{l_2^\alpha} = C_1 M \end{cases}$$

$$\Rightarrow \forall t \in [0; C_2 M], \|q_h - \mathbb{P}_\alpha^h q_h^0\|_{l_2^\alpha}(t) \leq C_3 M,$$

où C_3 ne dépend pas de M , Δx et Δy .

Conclusion du cas linéaire

Maillage triangulaire :

- Le schéma de Godunov ($\kappa = 1$) est précis à bas nombre de Mach.

Maillage cartésien :

- Le schéma de Godunov ($\kappa = 1$) n'est pas précis à bas nombre de Mach si $M \ll \min(\Delta x, \Delta y)$ mais est précis si $M \gg \min(\Delta x, \Delta y)$.
- Deux corrections à bas nombre de Mach :

$$F^{Cor}(W_i, W_j) = F^{God}(W_i, W_j) - \frac{(1 - \kappa)a_*\alpha_i}{2M\alpha_{ij}} \begin{pmatrix} 0 \\ \left[((\alpha \mathbf{u})_i - (\alpha \mathbf{u})_j) \cdot \mathbf{n}_{ij} \right] \mathbf{n}_{ij} \end{pmatrix}$$

- $\kappa = 0$ (correction **bas Mach**) : précis à bas Mach,
- $\kappa = \min(M, 1)$ (correction **tout Mach**) : précis à bas Mach et permet de retrouver le schéma de Godunov pour $M \geq 1$.

Prochaine étape :

- Tester les différents schéma dans le cas non-linéaire.

Correction bas Mach en non-linéaire avec $\alpha = 1$

Équations d'Euler barotrope :

$$\begin{cases} \partial_t \rho + \nabla \cdot (\rho \mathbf{u}) = 0, \\ \partial_t (\rho \mathbf{u}) + \nabla \cdot (\rho \mathbf{u} \otimes \mathbf{u}) + \nabla p = 0. \end{cases}$$

Nous notons $W = (\alpha \rho, \alpha \rho \mathbf{u})^T$. Le schéma numérique s'écrit sous la forme

$$\frac{d}{dt} W_i + \frac{1}{|\Omega_i|} \sum_{\Gamma_{ij} \subset \partial \Omega_i} |\Gamma_{ij}| F(W_i, W_j, \mathbf{n}_{ij}) = 0.$$

Les corrections **bas Mach** et **tout Mach** consiste à remplacer le flux $F(W_i, W_j, \mathbf{n}_{ij})$ par

$$F^{Cor}(W_i, W_j) = F^{Roe}(W_i, W_j) - \frac{(1 - \kappa_{ij}) \rho_{ij} c_{ij}}{2} \begin{pmatrix} 0 \\ [(\mathbf{u}_i - \mathbf{u}_j) \cdot \mathbf{n}_{ij}] \mathbf{n}_{ij} \end{pmatrix}$$

en prenant respectivement $\kappa_{ij} = 0$ ou $\kappa_{ij} = \min \left(1, \frac{|u_{ij}|}{c_{ij}} \right)$.

4 chocs

- L'état initial est donné par

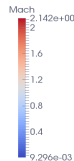
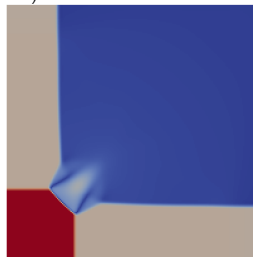
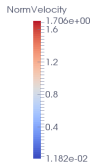
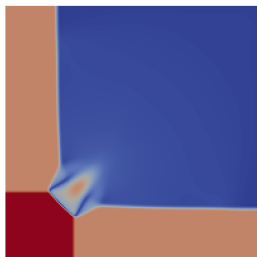
$$(\rho, u_x, u_y)(x, y) = \begin{cases} (0.1380, 1.206, 1.206), & \text{pour } x < 0.5, \quad y < 0.5 \\ (0.5323, 0.000, 1.206), & \text{pour } x > 0.5, \quad y < 0.5 \\ (0.5323, 1.206, 0.000), & \text{pour } x < 0.5, \quad y > 0.5 \\ (1.5000, 0.000, 0.000), & \text{pour } x > 0.5, \quad y > 0.5 \end{cases}$$

sur le domaine $[0, 1] \times [0, 1]$.

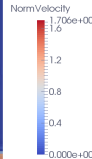
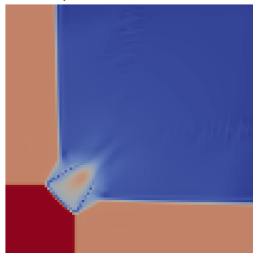
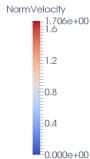
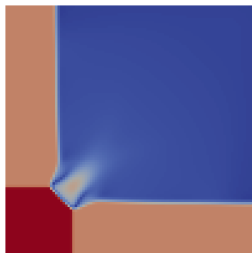
- Conditions aux bords de type Neumann.
- Temps final de calcul : $t_{final} = 0.4s$.
- Outils :
 - Salome pour le maillage,
 - Librairie C++ CDMATH (<http://www.cdmath.jimdo.com>) pour le code.

4 chocs :

- Solution de référence (Roe ($\kappa_{ij} = 1$) en cartésien 200×200) :

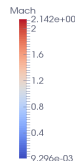
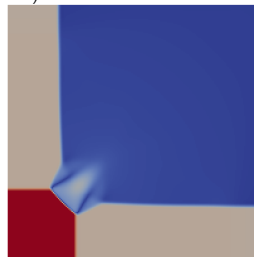
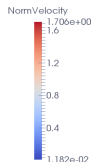
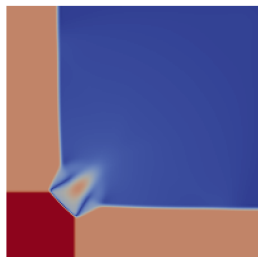


- Roe avec $\kappa_{ij} = 1$ et $\kappa_{ij} = \min\left(1, \frac{|u_{ij}|}{c_{ij}}\right)$ en cartésien 100×100 :



4 chocs :

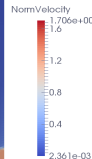
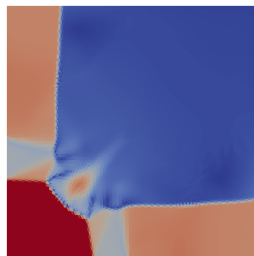
- Solution de référence (Roe ($\kappa_{ij} = 1$) en cartésien 200×200) :



- Roe avec $\kappa_{ij} = 0$ en cartésien et avec $\kappa_{ij} = 1$ en triangulaire :

Le schéma plante avec

$$\kappa_{ij} = 0!$$



Vortex :

- Pour ce test on utilise une loi de gaz parfait.
- L'état initial est donné par

$$\rho = 1, \quad p = 1000$$

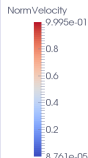
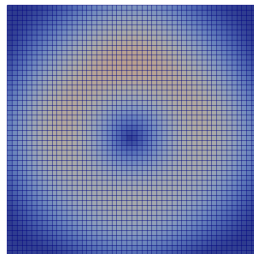
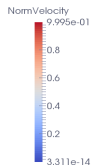
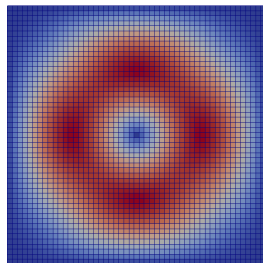
et $\alpha \mathbf{u} = \nabla \times \psi$ avec $\psi(x, y) = \frac{1}{\pi} \sin^2(\pi x) \sin^2(\pi y)$

sur le domaine $[0, 1] \times [0, 1]$.

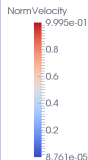
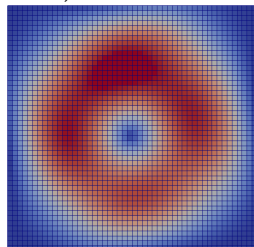
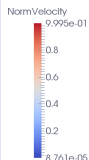
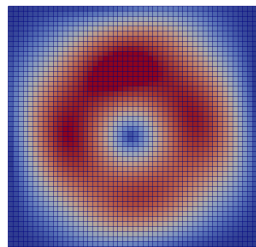
- Conditions aux bords de type mur.
- Temps final de calcul : $t_{final} = 0.125s$.

Vortex :

- Instant initial et Roe avec $\kappa_{ij} = 1$ en cartésien 50×50 :

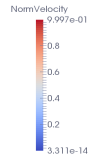
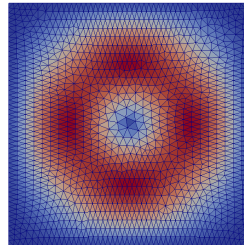
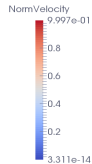
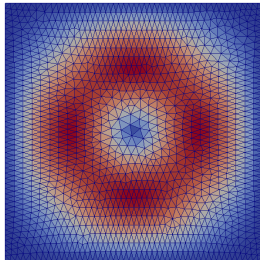


- Roe avec $\kappa_{ij} = 0$ et $\kappa_{ij} = \min\left(1, \frac{|u_{ij}|}{c_{ij}}\right)$ en cartésien 50×50 :



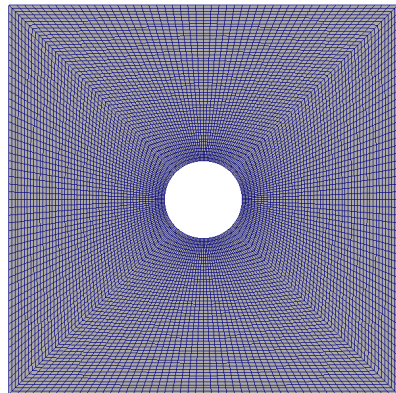
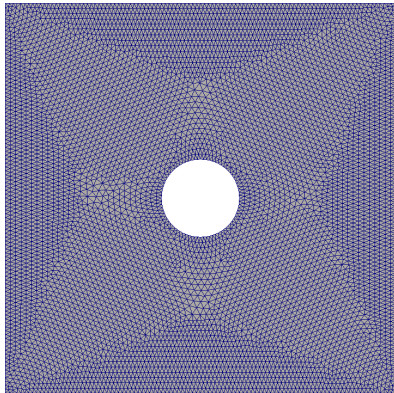
Vortex :

- Instant initial et Roe avec $\kappa_{ij} = 1$ en triangulaire :



Écoulements autour d'un cylindre

- Un avantage de CDMATH est de pouvoir facilement tester le code sur des géométries plus complexes.



Conclusion finale et perspective

Conclusion :

- Nous avons constaté le bon comportement à bas nombre de Mach des schémas de volumes finis sur maillages triangulaires en linéaire et en non linéaire.
- Nous avons constaté le mauvais comportement à bas nombre de Mach des schémas de volumes finis sur maillages cartésiens en linéaire et en non linéaire.
- L'étude de l'équation linéarisée nous a permis de construire une correction fournissant un schéma précise à bas Mach et permettant de retrouver le schéma de Godunov quand $M \geq 1$ sur maillages cartésiens.

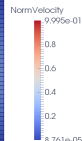
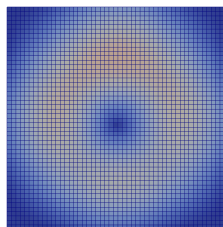
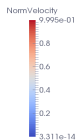
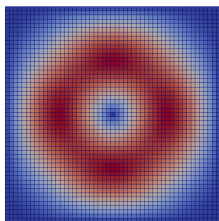
Perspectives :

- Tester le schéma avec α non constant dans le cas non-linéaire.
- Étudier la stabilité du schéma numérique corrigé dans le cas non-linéaire.

Articles :

- **Preliminary results for the study of the Godunov scheme applied to the linear wave equation with porosity**, S. Dellacherie, J. Jung, P. Omnes.
- **A low Mach correction for the Godunov scheme applied to the linear wave equation with porosity**, S. Dellacherie, J. Jung, P. Omnes.
- **Construction of Godunov type schemes accurate at any Mach number**, S. Dellacherie, J. Jung, P. Omnes, P.-A. Raviart.

Merci de votre attention !





S. Dellacherie, P. Omnes. On the Godunov scheme applied to the variable cross-section linear equation. FVCA6, (4) :313–321, 2011.